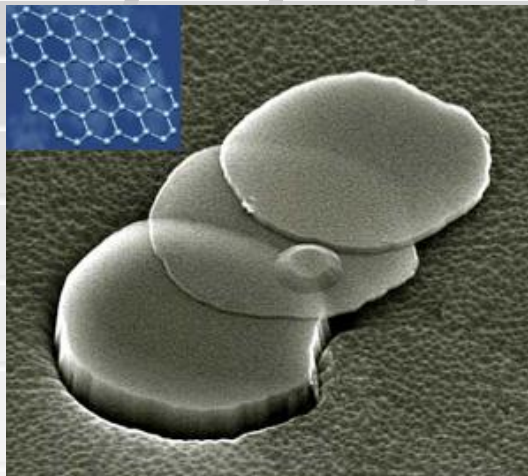


Учреждение Российской академии наук
Институт физики микроструктур РАН

Образовательный семинар Эффект близости в графене



Аспирант ИФМ РАН
Хаймович Иван,

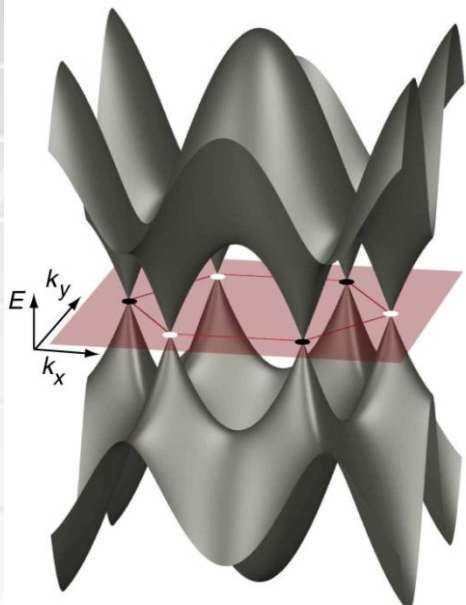
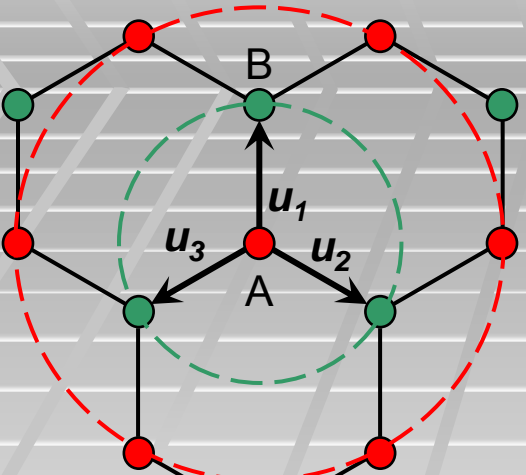
Научный руководитель
д.ф.-м.н. Мельников А.С.
ИФМ РАН

Нижний Новгород
2009 г.

План доклада

- **Общие сведения о графене**
 - Зонная структура
 - Сверхпроводимость
 - Уравнения Дирака-Боголюбова-де Жена
- **Границные условия**
 - Общие граничные условия
 - Zigzag
 - Arm-chair
 - Другие типы
 - Граница со сверхпроводником
- **Уровни Ландау в графене**
- **Транспорт в SG-структуре**
 - Баллистический SGS без магнитного поля
 - Идея транспорта в магнитном поле
 - Зависимость от долинного индекса первого плато КЭХ
- **Выводы и перспективы**

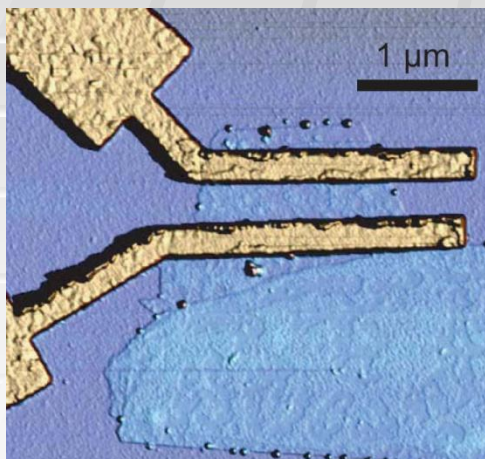
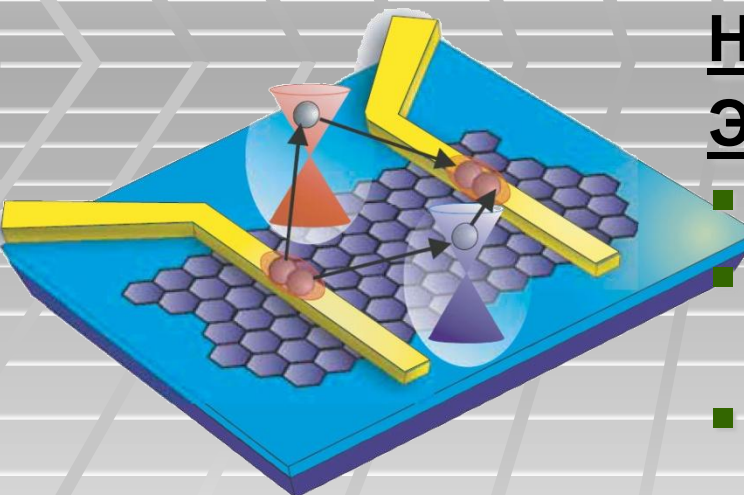
Общие сведения о графене



- Графен – одна плоскость графита, бесщелевой п/п
- 1947 – Wallace: зонная структура графена как части графита
- 2004 – Novoselov, Geim
получение стабильной плёнки графена (на подложке SiO_2)
- Гексагональная решётка с базисом, 2 подрешётки А и В
- Нет запрещённой зоны
- Линейная дисперсия энергии
вблизи соприкосновения зон
- 2 конические точки K^+ и K^-

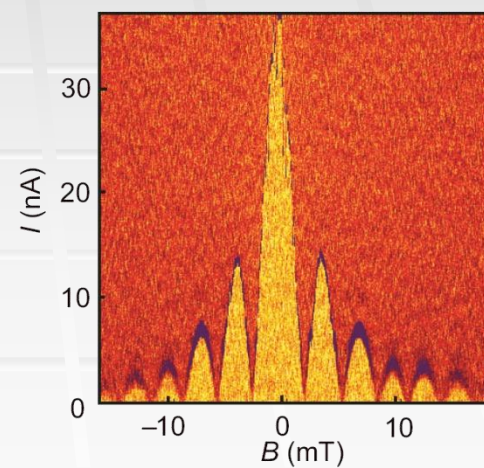
$$E = \hbar v_F k$$

Сверхпроводимость в графене



Heersche, Jarillo-Herrero (March 2007) ЭКСПЕРИМЕНТ

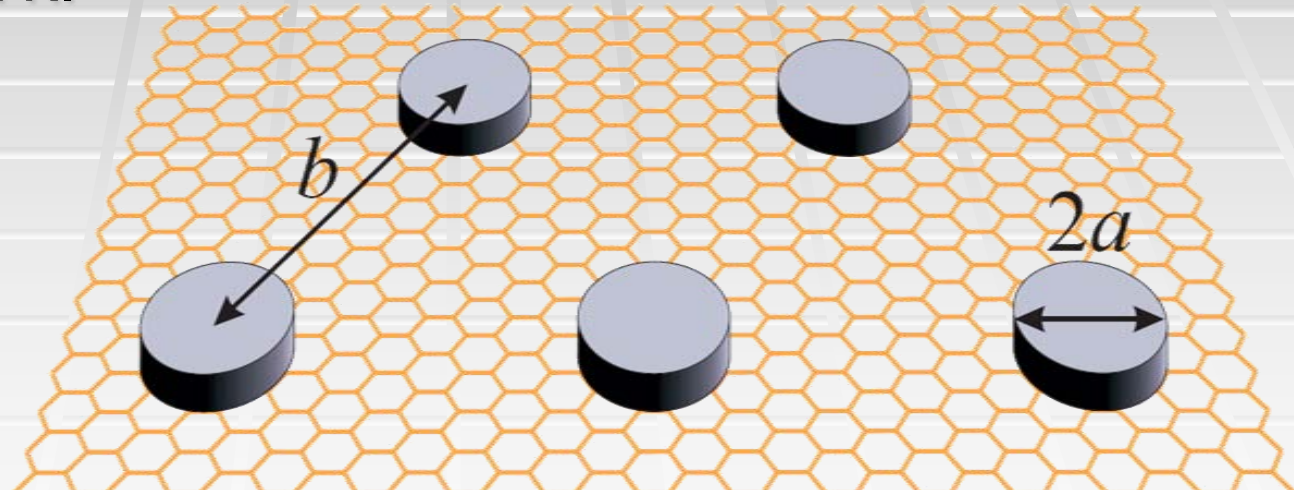
- 1 атомный слой графена на SiO_2
- Сверхпроводящие электроды: Ti/Al (10/70 nm)
- Эффект поля: изменение энергии Ферми под действием напряжения на затворе
- Эффект Джозефсона в графене



Сверхпроводимость в графене

Фейгельман, Скворцов, Тихонов
(October 2008) - ТЕОРИЯ

- Малые сверхпроводящие островки в графене
- Коллективный эффект близости с критической температурой порядка нескольких К.



[Подробнее](#)

Уравнения Дирака – Боголюбова – де Жена в графене

Одночастичные электронные уравнения

$$H \begin{pmatrix} \Psi_+ \\ \tilde{\Psi}_- \end{pmatrix} = \varepsilon \begin{pmatrix} \Psi_+ \\ \tilde{\Psi}_- \end{pmatrix}$$

$$H \cdot A = v_F \tau_0 \otimes \boldsymbol{\sigma} \left(\mathbf{p} - \frac{e}{c} \mathbf{A} \right)$$

$$\boldsymbol{\sigma} = \sigma_x, \sigma_y$$

- вектор-матрица Паули в
пространстве подрешёток

$$\Psi_+ = \psi_+^A, \psi_+^B, \quad \tilde{\Psi}_- = -\psi_-^B, \psi_-^A$$

Учёт сверхпроводимости в графене (уравнения ДБдЖ)

$$\begin{pmatrix} H - \mu & \Delta \\ \Delta^* & \mu - THT^{-1} \end{pmatrix} \begin{pmatrix} u \\ v \end{pmatrix} = \varepsilon \begin{pmatrix} u \\ v \end{pmatrix}$$

$$T = -\tau_y \otimes \sigma_y \quad C$$

$$TH \cdot \mathbf{A} \cdot T^{-1} = H \cdot -\mathbf{A}$$

$$u = u_+^A, u_+^B, -u_-^B, u_-^A, \quad$$

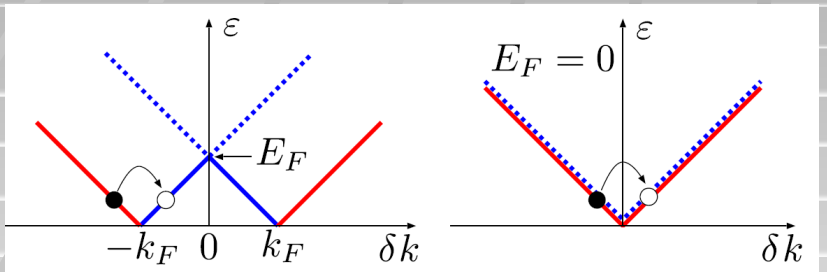
Всего слайдов: 22

$$v = v_-^A, v_-^B, -v_+^B, v_+^A$$

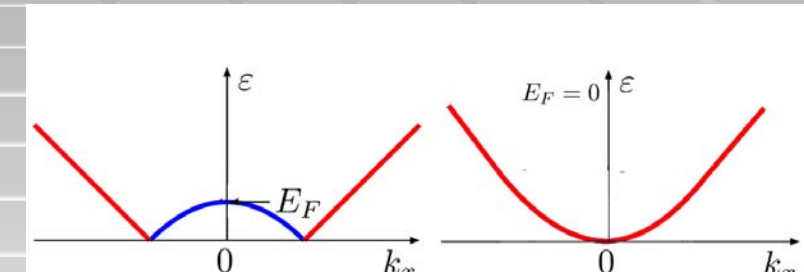
Уравнения Дирака – Боголюбова – де Жена в графене. Сравнение с 2d e-газом.

Сравнение с двумерным электронным газом

- Квазичастицы и их спектры в нормальном состоянии

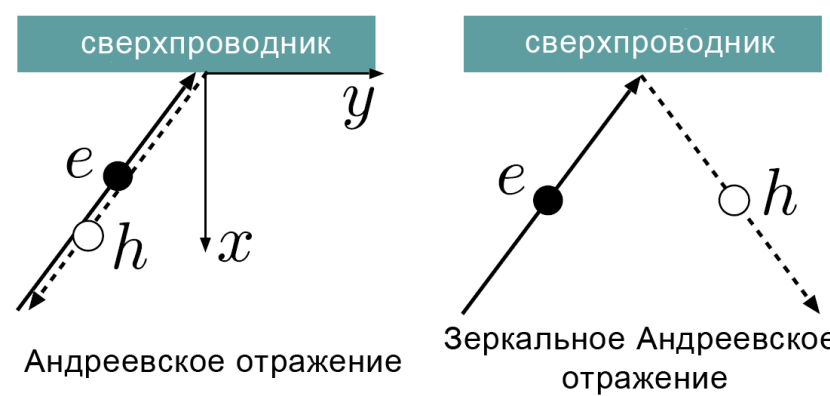


Графен



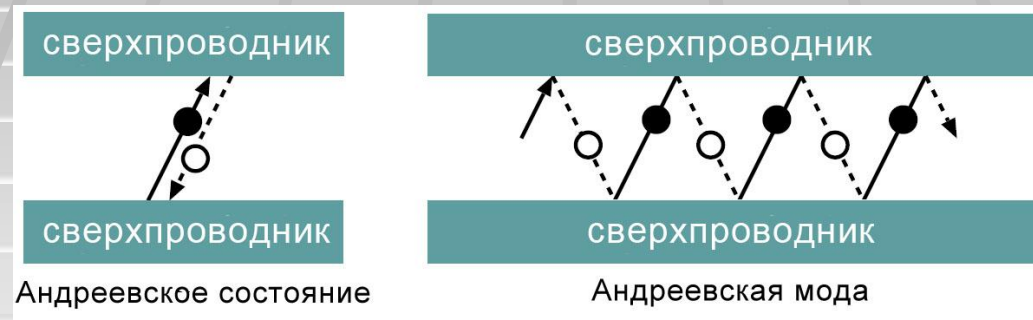
Двумерный электронный газ

- Особенности Андреевского отражения



Уравнения Дирака – Боголюбова – де Жена в графене. Сравнение с 2d e-газом.

- Андреевское состояние
и
- распространяющаяся Андреевская мода



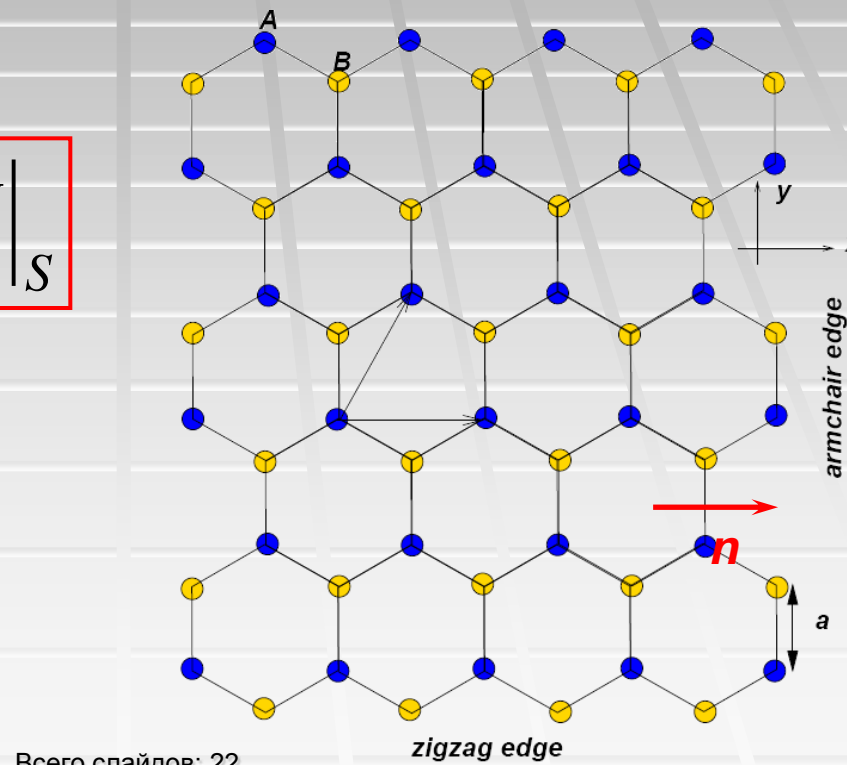
- Беззарядовый термотранспорт в джозефсоновском контакте, зависящий от разности фаз берегов

Общие граничные условия на GI-границе

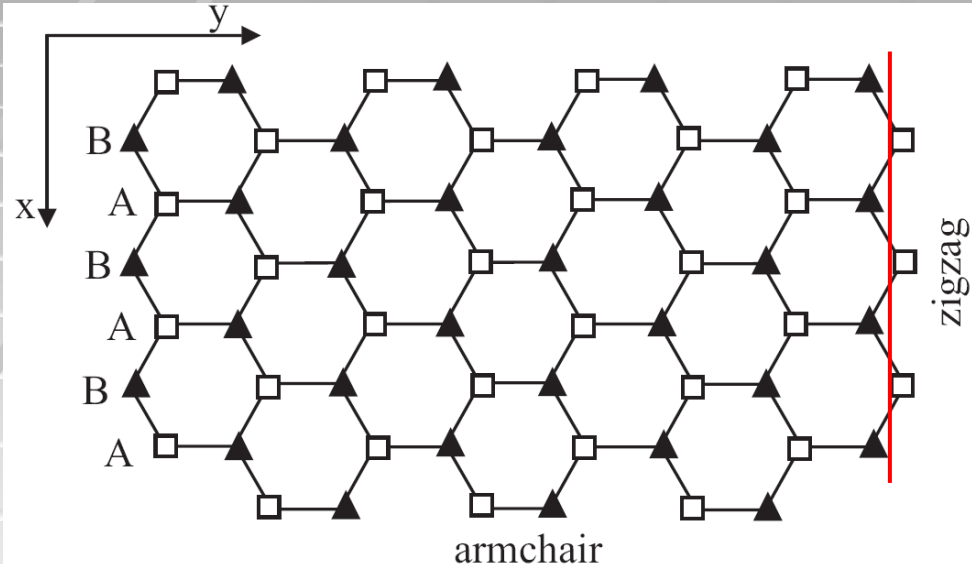
Общие граничные условия, не нарушающие симметрию
обращения времени, без квазичастичного тока через
границу

$$\Psi|_S = v \hat{\tau} n_{\perp} \hat{\sigma} \Psi|_S$$

$$v \in \mathbb{R}^3 \quad n_{\perp} \perp n$$



Границные условия типа “zigzag”



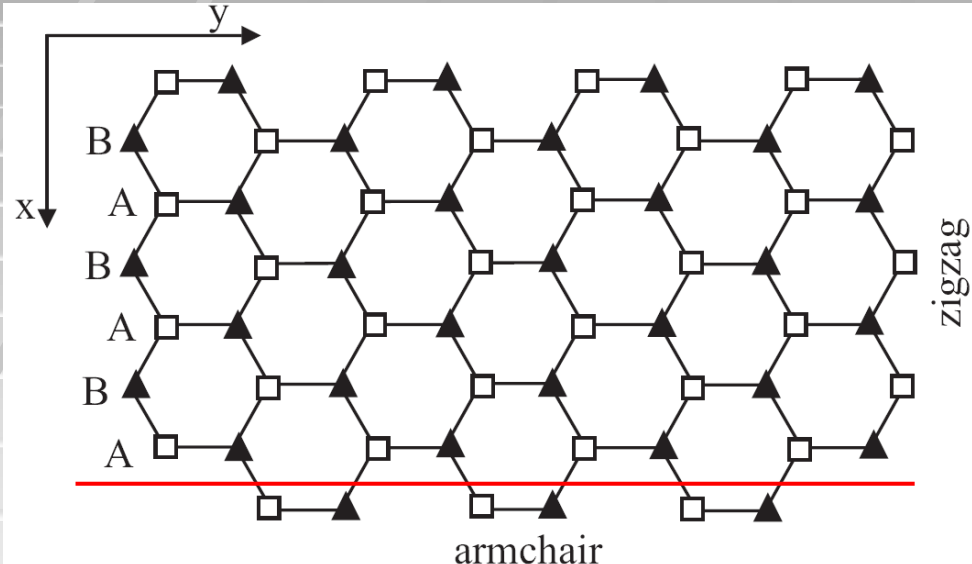
Доопределение на
отсутствующих узлах
решётки:

$$\Psi^A|_S = 0$$

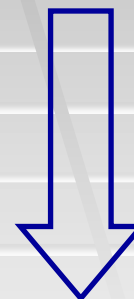


$$u_+^A|_S = v_-^A|_S = 0$$

Границные условия типа “arm-chair”



Запутывание
функций разных
долин на границе:



$$u_+ e^{i\mathbf{K} \cdot \mathbf{r}} + u_- e^{-i\mathbf{K} \cdot \mathbf{r}} \Big|_S = 0$$

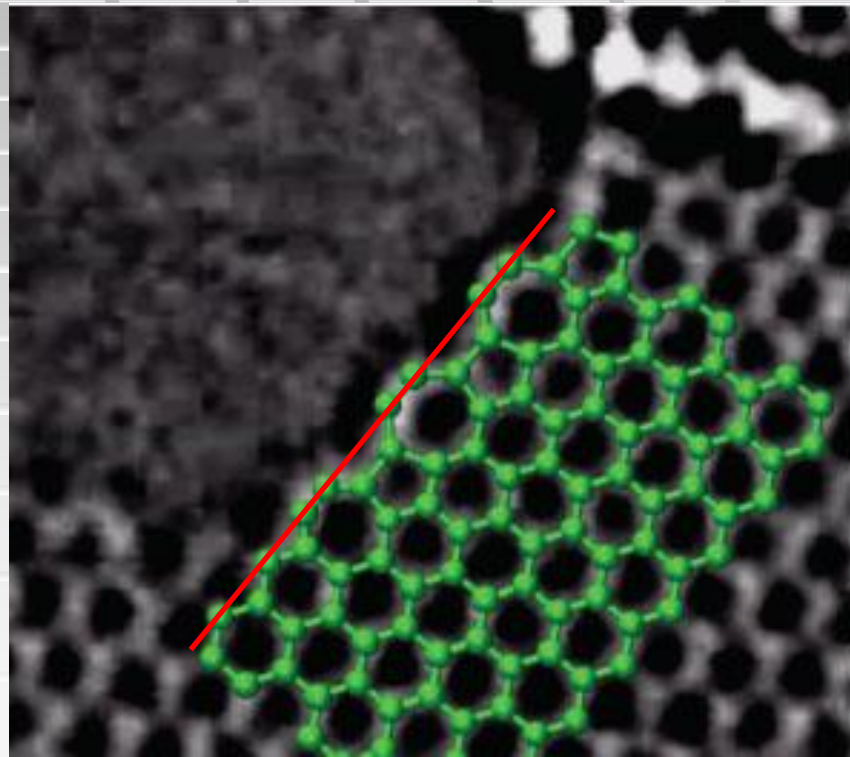
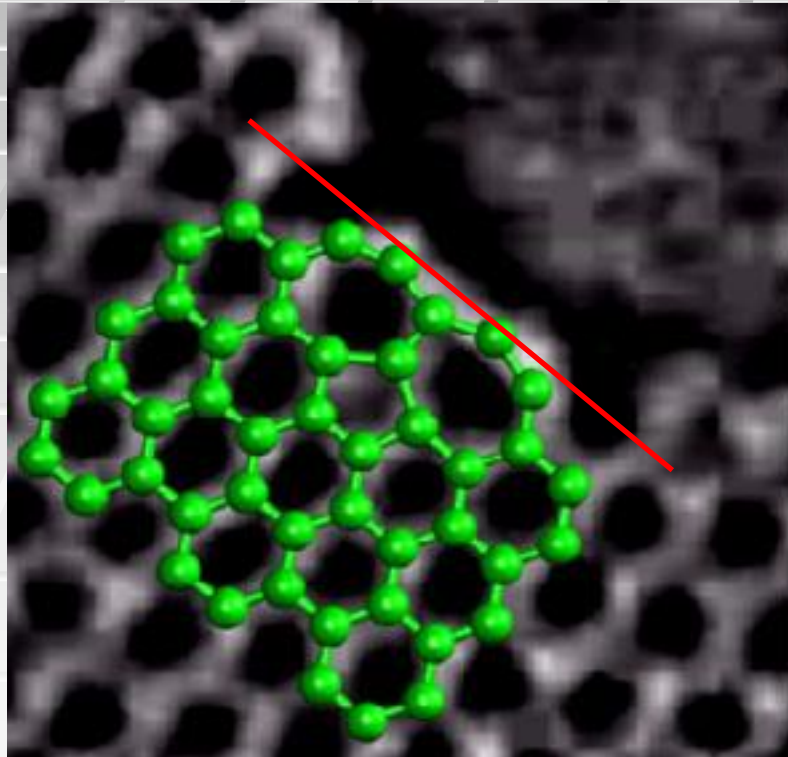
Другие типы

Koskinen, Malola, Häkkinen
PRB 80, 073401 (2009)

границых условий

Реконструированные
семиугольниками
arm-chair

Реконструированные
zigzag



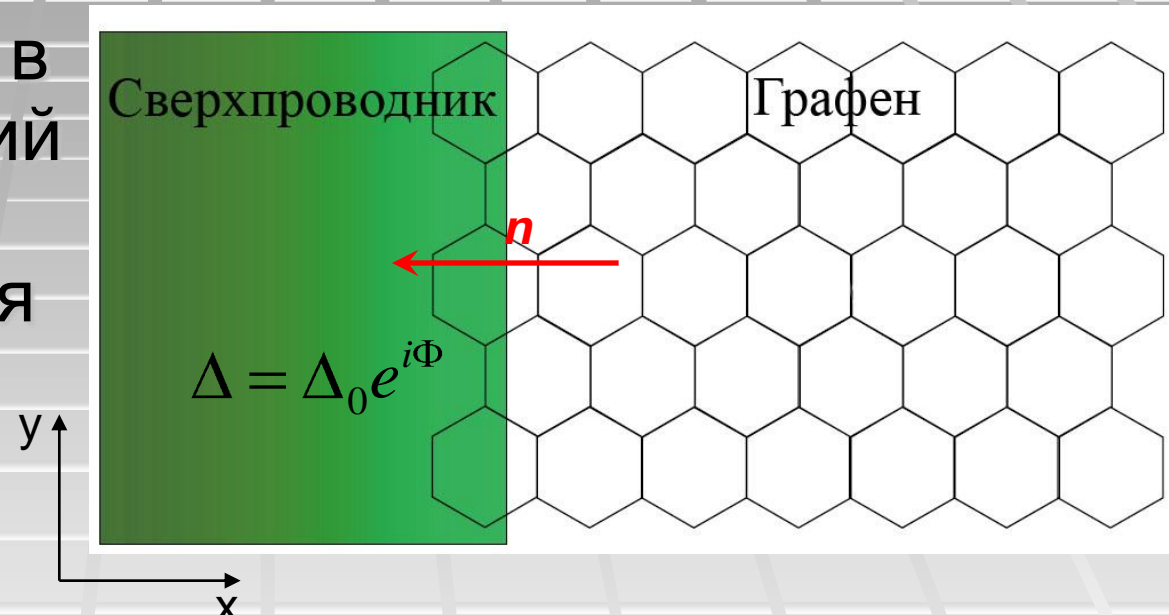
Границные условия на границе со сверхпроводником

Проникновение в
сверхпроводящий
графен без
магнитного поля



$$\Psi_S^\pm \propto e^{iqy \pm ik_0x + \kappa x}$$

Условие
непрерывности



$$v|_S = \tau_0 \otimes e^{-i\Phi - i\beta \cdot n\sigma} u|_S$$

Спектр графена в магнитном поле (Уровни Ландау)

Уровни Ландау уравнения Шредингера

$$\Psi(\mathbf{r}) = \phi_n(x) X e^{iqy} \quad \text{где } \phi_m(x) = e^{x^2/2} (-1)^m \partial_x^m e^{-x^2}$$

$$\varepsilon_n^0 - \mu = \hbar\omega_L \left(n + \frac{1}{2} \right) - \mu$$

Уровни Ландау в графене (уравнение Дирака)

$$\varepsilon_n - \mu = \frac{\hbar v_F}{L_H} \operatorname{sgn} n \sqrt{2|n|} - \mu \propto \sqrt{|n|} !!!$$

$$\Psi(\mathbf{r}) = e^{iqy} \begin{pmatrix} \phi_{|n|}(x) \\ -i \operatorname{sgn} n \phi_{|n|-1}(x) \end{pmatrix} \quad L_H = \sqrt{\frac{\hbar c}{eH}}$$

Спектр графена в магнитном поле (Уровни Ландау)

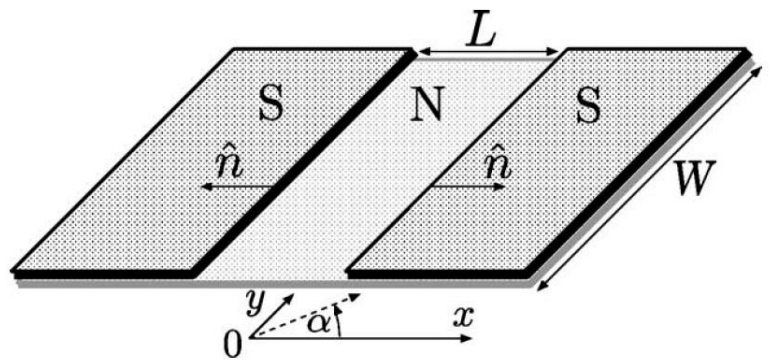
Циклотронная масса в уравнении Шредингера

$$m_c = \frac{\hbar^2}{2\pi} \frac{\partial S_k}{\partial \varepsilon} \varepsilon = \text{const}(\varepsilon)$$

Циклотронная масса в графене (уравнение Дирака)

$$m_c = \frac{\hbar^2}{2\pi} \frac{\partial S_k}{\partial \varepsilon} \varepsilon = \frac{\varepsilon}{v_F^2} \propto \sqrt{n} !!!$$

Баллистический SGS-контакт без магнитного поля



Titov, Beenakker
PRB 74, 041401(R) (2006)

Формула Ландауэра

$$I_c = \frac{e\Delta_0}{\hbar} \sum_{n=1}^N |T_n|^2$$

Ток в конической точке зависит от длины контакта:

- Экспоненциальный эффект близости

Формула Ландауэра вдали от конической точки

$$I_c \simeq \frac{e\Delta_0}{\hbar} \max(W/L, 2\pi W/\lambda_F)$$

Идея транспорта вдоль неоднородной границы

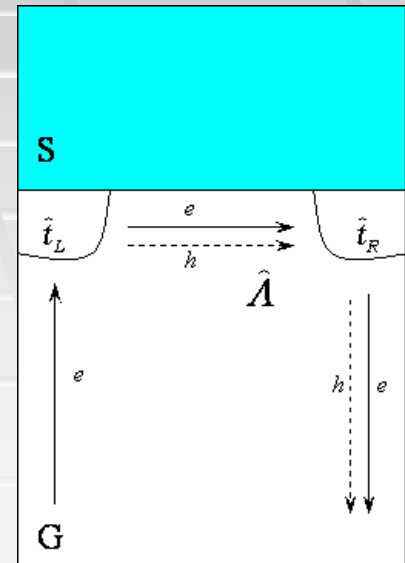
- Транспорт вдоль однородной части границы как транспорт вдоль однородной границы.
- Токонесущие моды = нулевые мод краевых спектров.
- «e-состояния» положительные волновые числа Q ,
«h-состояния» — отрицательные.
- Неоднородности => матрицы рассеяния.
- Размер матриц = числу мод.
- $S - N$ граница: проводимость в линейном приближении

Akhmerov, Beenakker,
PRL 98, 157003 (2007)

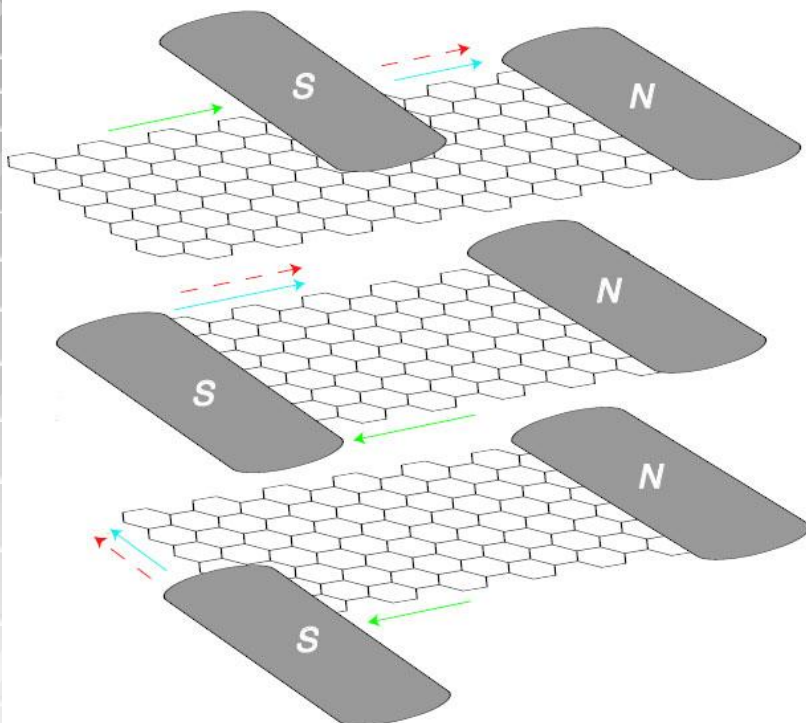
$$G_{NS} = \frac{e^2}{\pi \hbar} \text{Sp } \hat{I} - \hat{T}_{ee}^+ \hat{T}_{ee} + \hat{T}_{eh}^+ \hat{T}_{eh} = \frac{2e^2}{\pi \hbar} \text{Sp } \hat{T}_{eh}$$

$$\hat{T} = \begin{pmatrix} \hat{T}_{ee} & \hat{T}_{he} \\ \hat{T}_{eh} & \hat{T}_{hh} \end{pmatrix} \quad \hat{T} = \hat{t}_R \hat{\Lambda} \hat{t}_L \quad \hat{\Lambda} = e^{i\hat{K}}$$

$$\hat{K} = \text{diag } -k_N L, \dots, -k_1 L, k_1 L, \dots, k_N L$$



Зависимость кондактанса от долинного индекса (изоспина)



Akhmerov, Beenakker
PRL 98, 157003 (2007)

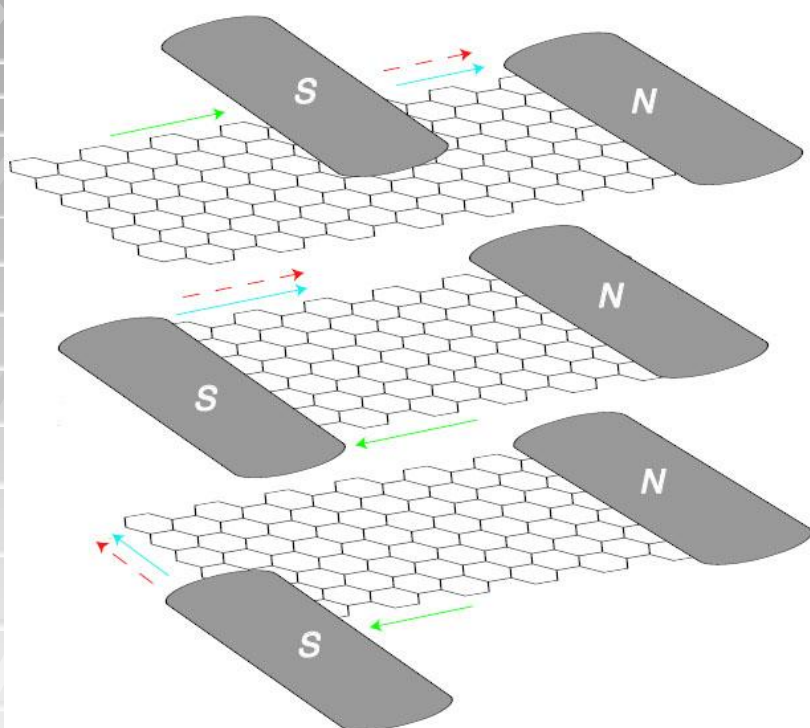
Без учёта междолинного рассеяния проводимость SG-системы (1ое плато КЭХ) существенно зависит от изоспина (долинного индекса):

$$G_{NS} = \frac{2e^2}{h}(1 - T_{ee} + T_{he}) = \frac{4e^2}{h}T_{he}$$

$$T_{he} = 1 - T_{ee} = \frac{1}{2}(1 - \boldsymbol{\nu}_1 \cdot \boldsymbol{\nu}_2)$$

Нулевое значение при одинаковых индексах!!

Зависимость кондактанса от долинного индекса (изоспина)



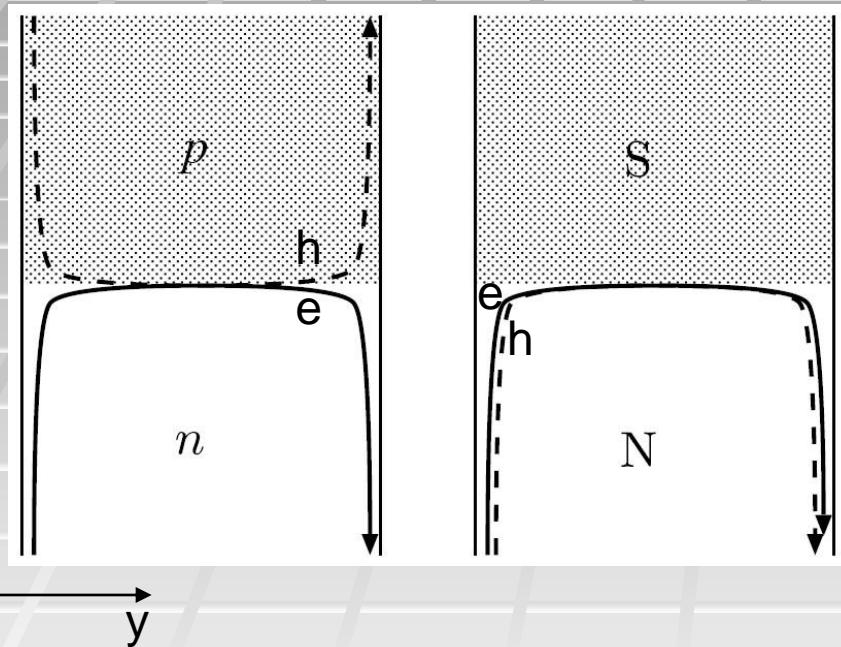
неопубликованное

Учёт междолинного
рассеяния показывает,
что проводимость
SG-системы остаётся
конечной:

$$G_{NS} = \frac{4e^2}{h} \left(2\sqrt{\tau(1-\tau)} \cos \Theta \sin(a+b) + 1 - 2\tau \sin \frac{\Theta}{2} \right)^2$$

$$t_{ee} = e^{ia} \sqrt{\tau}$$
$$t_{eh} = e^{ib} \sqrt{1-\tau}$$

Аналогия между полу- и сверхпроводящими структурами



Tworzydlo, Snyman,
Akhmerov, Beenakker,
PRB **76**, 035411 (2007).

Связь между SG-контактом и
рн-переходом в графене:

- Аналогия через замену координат

$$\Psi_e(x, y) = \Psi(x, y),$$

$$\Psi_h(x, y) = ie^{-i\Phi}(\sigma_x \otimes \tau_0)\Psi(-x, y)$$

Выводы и перспективы

- Линейный спектр квазичастичных возбуждений в графене и наличие двух долин в зоне Бриллюэна существенно влияют на спектр Ландау и транспорт в SG-контакте в магнитном поле.
- Двумерная структура графена позволяет возбуждать в нём сверхпроводимость с помощью эффекта близости на больших расстояниях.
- Аналогия в поведении SG-контакта и p-n-перехода на основе графена позволяет проектировать сверхпроводящие свойства и особенности SG-контакта на полупроводниковый прибор.

Литература

- K.S. Novoselov et al, Nature 438, 197 (2005).
- C. Honerkamp, Phys. Rev. Lett. 100, 146404 (2008).
- N.B. Kopnin, E.B. Sonin, Phys. Rev. Lett. 100, 246808 (2008).
- A.V. Shytov, Nan Gu, L.S. Levitov arXiv:cond-mat/0708.3081v1
- C.W.J. Beenakker Rev. Mod. Phys. 80, 1337 (2008)
- M. Titov, A. Ossipov, C.W.J. Beenakker, Phys. Rev. B 75, 045417 (2007)
- A.R. Akhmerov C.W.J. Beenakker Phys. Rev. Lett. 98 157003 (2007)
- E. McCann, V.I. Fal'ko J. Phys. Condens. Matter 16 2371 (2004)
- C.W.J. Beenakker, arXiv:cond-mat/0604594v3
- D.A. Abanin, P.A. Lee, L.S. Levitov, Phys. Rev. Lett. 96 176803 (2006)
- D.A. Abanin, P.A. Lee, L.S. Levitov, Solid State Comm. 143, 77-85 (2007)
- G.E. Blonder, M. Tinkham, T.M. Klapwijk, Phys. Rev. B 25 4515 (1982)
- H. Hoppe, U. Zulicke, Gerd Schon, Phys. Rev. Lett. 84, 1804 (2000)